

การศึกษาแบบจำลองเชิงทดลองเรื่องการไหลของอากาศผ่านรถไฟฟ้า

An Experimental Model Study on Air Flow over a Skytrain

มิ่ง โลกิจแสงทอง

ภาควิชาวิศวกรรมเครื่องกล คณะวิศวกรรมศาสตร์ สถาบันเทคโนโลยีพระจอมเกล้าเจ้าคุณทหารลาดกระบัง
ถนนสุขุมวิท แขวงคลองเตย เขตคลองเตย กรุงเทพฯ 10520

บทคัดย่อ

การหาค่าแรงดูดที่กระทำบนรถไฟฟ้าต้องนับว่าเป็นเรื่องที่ไม่ง่ายนัก เนื่องจากจะต้องใช้อุโมงค์ลมที่มีขนาดใหญ่มาก ซึ่งค่าใช้จ่ายในการทดลองจะสูงมาก เพื่อลดค่าใช้จ่ายในส่วนนี้จึงต้องออกแบบและสร้างแบบจำลองซึ่งมีลักษณะคล้ายคลึงกับรถไฟฟ้าต้นแบบแต่มีขนาดเล็กกว่า และนำไปทดสอบในอุโมงค์ลมที่มีขนาดเล็ก ซึ่งค่าต่าง ๆ ที่ได้จากการทดลองจะมีความสัมพันธ์กับค่าที่เกิดขึ้นบนรถไฟฟ้าจริง โดยอาศัยหลักการวิเคราะห์เชิงมิติและความคล้ายคลึงเชิงผลลัพธ์ การกระจายของความดันบนจุดต่างๆ ของรถไฟฟ้าและค่า C_D ในช่วงพิสัยของเรียโนลด์ส์ นัมเบอร์จาก 5.71×10^5 ถึง 1.174×10^6 ที่สามารถหาได้จากแบบจำลองค่าทั้งสองนี้จะแสดงอยู่ในรูปของกราฟ

Abstract

Determination of drag over the skytrain could not be easily done . Since this would require a rather large wind tunnel and conducting such an experiment can become very costly. To circumvent this problem a much smaller model, which is similar to the prototype needs to be designed and constructed. This model will then be tested in a smaller wind tunnel. Based on the principle of the dimensional analysis and dynamic similitude, the pressure distribution on the skytrain and its C_D in the range of Reynolds number from 5.71×10^5 to 1.174×10^6 can be obtained from the model test. These results also were given graphically.

1. บทนำ

ปัญหาการจราจรในกรุงเทพมหานครกำลังมีความรุนแรงมากขึ้น ระบบขนส่งมวลชนน่าจะเป็นกลัจจารสำคัญตัวหนึ่งที่ช่วยบรรเทาให้ปัญหาเบาบางลง รถไฟฟ้าเป็นยานพาณิชย์ที่มีประสิทธิภาพสูง มากตัวหนึ่งและมีความสำคัญควรแก้การนำมาศึกษาเพื่อพัฒนาและส่งเสริมการศึกษาทางด้านวิศวกรรมศาสตร์

เมื่อของเหลวไหลผ่านวัตถุจะมีการติดตัวด้วยความเร็วค่าหนึ่ง ความดันที่เกิดขึ้นบนผิวนั้นจะมีค่าแตกต่างกันไปตามจุดต่าง ๆ บนผิววัตถุ ขึ้นอยู่กับรูปร่างของวัตถุนั้น ๆ และค่าเรย์โนลด์ส์นัมเบอร์[1] ในที่

นี้ได้ทำการศึกษาถึงรูปร่างของรถไฟฟ้าและการไหลที่ความเร็วต่างๆ กันไป ว่าจะมีการกระจายของความดันอย่างไร นอกจากนี้ังได้ทดลองหาค่าแรงดูดทั้งหมดที่กระทำกับแบบจำลอง ตามหลักพลศาสตร์ของไหลเมื่อวัตถุเคลื่อนที่ผ่านไปในด้วยของไหลที่มีความหนืดจะเกิดทั้งแรงดูดเนื่องจากความเค้นเฉือนและเนื่องจากความดันกระทำบนผิว

ในการศึกษานี้ ข้อมูลที่ได้อาจสามารถนำไปประยุกต์ใช้ในการออกแบบรูปทรงของยานพาหนะในลักษณะเดียวกัน(แต่ว่าด้วยความเร็วที่ช้ากว่ารถไฟฟ้ามาก) เพื่อให้มีรูปร่างที่เหมาะสมสำหรับการเคลื่อนที่

2. สัญลักษณ์

- C_D : สัมประสิทธิ์ของแรงดูด
 C_{Df} : สัมประสิทธิ์ของแรงดูดแบบความเสียดทาน
 C_{Dp} : สัมประสิทธิ์ของแรงดูดแบบความดัน
 C_P : สัมประสิทธิ์ของความดัน
 D : แรงดูด (N)
 D_f : แรงดูดแบบความเสียดทาน (N)
 D_p : แรงดูดแบบความดัน (N)
 H : ความสูงของแบบจำลอง (m)
 L : ความยาวของแบบจำลอง (m)
 P : ความดันที่จุดใด ๆ (Pa)
 P_∞ : ความดันในสภาวะอิสระ (Pa)
 Re : เรย์โนลด์ส์นัมเบอร์
 V : ความเร็วของลม (m/s)
 W : ความกว้างของแบบจำลอง (m)
 μ : ความหนืดสัมบูรณ์ ($N.s/m^2$)
 v : ความหนืดคิเนแมติก (m^2/s)
 θ : มุมระหว่างแนวตั้งกับผิวแบบจำลองและแนวการไหล
 ρ : ความหนาแน่นของอากาศ

3. ทฤษฎีที่ใช้ในการออกแบบและคำนวณ

3.1 การออกแบบ[2]

ในปัญหานี้ ตัวแปรตามคือ D ซึ่งสามารถเขียนให้อยู่ในรูปฟังก์ชันรวมกับตัวแปรอิสระอื่นได้ตามสมการ(1) และใช้การวิเคราะห์เชิงมิติในการหาตัวแปรรีเมติ จากฟังก์ชัน ผลที่ได้เขียนได้ตามสมการ(2)

$$F(D, V, \Delta p, \rho, \mu, L) = 0 \quad (1)$$

เมื่อ $\Delta p = p - p_\infty$ ตัวแปรรีเมติจะเป็น

$$\Phi \left(\frac{D}{\frac{1}{2} \rho V^2}, \frac{\rho V L}{\mu}, \frac{\Delta p}{\frac{1}{2} \rho V^2} \right) = 0 \quad (2)$$

หรือ

$$\phi(C_D, R_e, C_p) = 0$$

การพิจารณาการไหลของแบบจำลองและต้นแบบจะมีความคล้ายคลึง เมื่อ

$$\begin{aligned} \frac{W_M}{W_P} &= \frac{H_M}{H_P} = \frac{L_M}{L_P} \\ Re_M &= Re_P \\ \left(\frac{\rho VL}{\mu} \right)_M &= \left(\frac{\rho VL}{\mu} \right)_P \end{aligned} \quad (3)$$

เมื่อตัวห้อย M และ P หมายถึงแบบจำลอง และ ต้นแบบตามลักษณะ

จากต้นแบบของรถไฟฟ้าซึ่งมีความกว้าง 3120 mm ความสูง 2600 mm (ไม่รวมความสูงของหัวล้อ) และความยาว 23550 mm ความเร็วสูงสุด 80 km/h และความเร็วเฉลี่ย 35 km/h และจาก รายละเอียดของคุณลักษณะของอุโมงค์ลมจะได้ว่า ช่วงส่วนการทำงานของ อุโมงค์ลมมีขนาด 300 mm x 300 mm ยาว 610 mm (24in) ความเร็ว สูงสุดของลมในอุโมงค์ลมเท่ากับ 40.3 m/s การคำนวณทางขนาดของแบบจำลองนั้นผลที่ได้จาก(3) เป็นไปตามตารางที่ 1

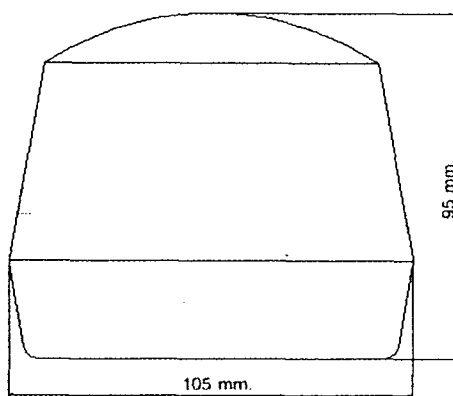
เนื่องจากของไหลที่ใช้ในการทดลองเป็นอากาศ ซึ่งเหมือนกันของ ไหลที่ผ่านต้นแบบทำให้ $V_M = V_P$ จะได้ $V_M L_M = V_P L_P$ ใน การคำนวณสองครั้งแรกจะกำหนดค่าความเร็วของทั้งต้นแบบและแบบจำลองพร้อมกับค่าของขนาดของต้นแบบ และทางขนาดของแบบจำลอง

ตารางที่ 1 การคำนวณขนาดของแบบจำลอง

ครั้งที่	V_p (m/s)	V_m (m/s)	H_p (mm)	H_m จาก(3) (mm)	$W \times L \times H$ mm x mm x mm
1	22.2 80km/h	40.3	2600	1432	1718 x12947 x1432
2	9.72 35km/h	40.3	2600	627	753 x5680 x627
3	1.023 3.68km/h จาก(3)	38	2600	70	84x500x 70
แบบจำลองที่ได้จากการออกแบบ				105 x450x95	

การคำนวณครั้งที่ 1 ปราภูภูมิกว้างขนาดของแบบจำลองจะเป็น 1718 mm x 12947 mm x 1432 mm ซึ่งจะมีขนาดทุกส่วนใหญ่กว่าอุโมงค์ลมมาก การคำนวณครั้งที่ 2 ปราภูภูมิกว้างขนาดของแบบจำลองจะเป็น 753 mm X 5680 mm x 627 mm ซึ่งจะมีขนาดทุกส่วนใหญ่กว่าอุโมงค์ลมมาก เช่น กัน

ด้วยเหตุที่นี้ได้กำลังความสามารถของอุโมงค์ลมมีจำกัด เช่นนี้การคำนวณครั้งที่ 3 จึงได้กำหนดค่าขนาดของห้องต้นแบบและแบบจำลอง



รูปที่ 1 ขนาดของแบบจำลองรถไฟฟ้า

พร้อมห้องค่าของความเร็วของแบบจำลองแล้วหากความเร็วของต้นแบบ จะได้ขนาดที่น้ำไปสระว่าง 84 mm x 500 mm x 70 mm ดังนั้นการศึกษา นี้เป็นไปได้ในช่วงพิสัยหนึ่งของความเร็วของรถไฟฟ้าเท่านั้น เพื่อความเหมาะสมในการติดตั้งอุปกรณ์วัด ขนาดของแบบจำลองจะกำหนดให้ เป็น 105 mm x 450 mm x 95 mm ดังแสดงในรูปที่ 1

3.2 การวิเคราะห์ผลกระทบ

เมื่อวัตถุเคลื่อนที่ผ่านของไหลที่มีความหนืด จะเกิดแรงฉุดโดยมี ค่าเท่ากับผลรวมของแรงฉุดและความตันและแรงฉุดแบบความเสียดทาน

$$D = D_p + D_f \quad (4)$$

แรงฉุดรวม D สามารถวัดได้จากเครื่องวัดแรงดึงดูดโดยมี สำหรับการไหลผ่านแผ่นที่วางทำมุม θ กับทิศทางการไหลเมื่อคิด เฉพาะความตัน ดังนั้นค่าแรงฉุดแบบความตันหาได้จาก

$$D_p = \int_{surface} (P - P_\infty) \cos \theta dA \quad (5)$$

$$C_{D_p} = \frac{D_p}{\frac{1}{2} \rho V^2 A} = \int C_p \cos \theta dA \quad (6)$$

สมการ (6) สามารถหาค่าได้ด้วยการอินทิเกรตเชิงตัวเลข[3] หลัง จากนั้นแรงฉุดแบบความเสียดทานคำนวณได้จาก (4)

3.3 การวิเคราะห์ทางทฤษฎี

สำหรับการไหลผ่านແຜ່ນແບບທີ່ວ່າງຂະນາດກັບກີດທາງການໄລຍະ ຈະປະມານແຮງຈຸດແບບຄວາມເສີຍດທານທີ່ຈະໄດ້ຈາກສູ່ຕ່າງໆ ດັ່ງນີ້ ການໄລຍະແບບ Laminar[4]

$$C_{Df} = \frac{1.328}{\sqrt{\text{Re}_L}} \quad (7)$$

ການໄລຍະແບບ Turbulent[5]

$$C_{Df} = \frac{0.455}{(\log \text{Re}_L)^{2.58}} \quad \text{ເມື່ອ } \text{Re}_L < 10^9 \quad (8)$$

ການໄລຍະແບບຜສມ (transition) ຕີ່ວ່າງແຮງຈະເປັນການໄລຍະແບບ Laminar ແລ້ວຕ່ອງ ຖໍ່ກາລຍໄປເປັນການໄລຍະແບບ Turbulent

$$C_{Df} = \frac{0.455}{(\log \text{Re}_L)^{2.58}} - \frac{1610}{\text{Re}_L} \quad \text{ເມື່ອ } 5 \times 10^5 < \text{Re}_L < 10^9 \quad (9)$$

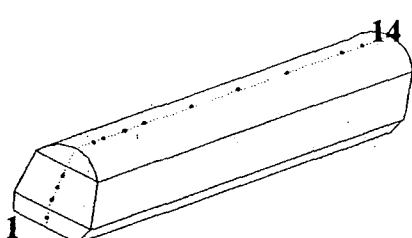
4. ການທົດລອງ

4.1 ແຜນຈຳລອງ

ແຜນຈຳລອງທີ່ໃຊ້ໃນການທົດລອນນີ້ ທຳດ້ວຍໄມ້ balsa ກັ້ງໜົດ ສ່ວນທ່ອງວັດຄວາມດັນທ່າງຈາກສາຍພລາສິຕິກົນດາເສັນຜ່າສູນຢັກລາງ 3mm ໃນການສ່ວນແຜນຈຳລອງມີຂອງຈຳກັດນາມປະກາດເຄືອຂ່າງລ່າງຂອງຮັດໄຟຟ້າໄຟໄດ້ຖຸກນໍາມາຈຳລອງ ຮາຍລະເອີຍເລືັກນ້ອຍຕ່າງໆ ເຊັ່ນ ມັນຕ່າງ ປະຫຼຸ ຂອງຮັດໄຟຟ້າ ໄນໄຟໄດ້ຖຸກຈຳລອງ.

4.2 ການຕິດຕັ້ງຈຸດວັດຄວາມດັນ

ຈຸດວັດຄວາມດັນວາງເປັນແບບແຕງເດືອນຮະນາບຸກລາງຕາມແນວແກນຍາວຂອງຮັດ ການເລືອກຈຳນວນຈຸດວັດຄວາມດັນແລະຕໍາແໜ່ງການທິດຕັ້ງ ຈະພິຈາລະາຈາກຮູ່ປ່ວງຂອງແຜນຈຳລອງໂດຍສ່ວນໃດທີ່ມີການເປີຍແປ່ງ ຄວາມດັນທີ່ມີຂອງແບນນຸ່ມຈຳລອງມາກ ບໍລິເວນນັ້ນກີຈະຕິດຕັ້ງຈຸດວັດຄວາມດັນທີ່ມາກ[4] ສິ່ງໃນການທົດລອນນີ້ແນ້ນທ່າການທິດຕັ້ງຈຸດວັດຄວາມດັນທັງໝົດ 14 ຈຸດ ໂດຍທີ່ຕໍ່າແໜ່ງຂອງຈຸດວັດຄວາມດັນເນີນຈາກຈຸດທີ່ 1 ສິ່ງອຸ່ງດ້ານລ່າງຂອງໜັນຮັດໄປເຖິງຈຸດທີ່ 14 ສິ່ງອຸ່ງທີ່ນີ້ນີ້ມີກົດໜັກຄາຂອງທ້າຍຮັດຕັ້ງຮູປ່ປໍ່ໄປໃນການທົດລອນນີ້ ຈະກໍາກຳເປີຍແປ່ງຄວາມເວົ້າຂອງລົມໃນອຸໂມໂຄລົມໄປເຮືອຍໆ ຕັ້ງແຕ່ 18 – 37 m/s

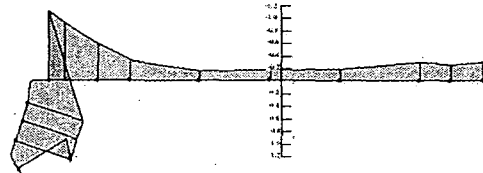


ຮູປ່ປໍ່ທີ່ທ່າການທິດຕັ້ງທ່ອງຈຸດວັດຄວາມດັນນັ້ນແບບຈຳລອງຮັດໄຟຟ້າ

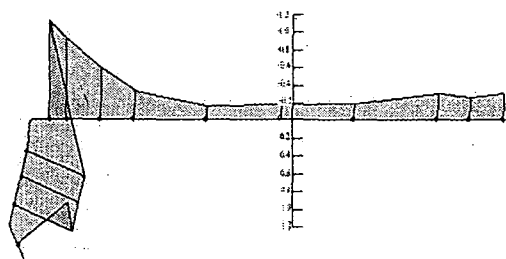
5. ການທົດລອງແລະຂ້ອສຽບ

ລັກນະແກກຮະຈາຍຂອງຄວາມດັນ ອີຣີ ຄໍາ C_D ທີ່ຈຸດຕ່າງໆຂອງຜົວແຜນຈຳລອງຕັດກັບຮະນາບຸກລາງຂອງຮັດ ທີ່ຄວາມເວົ້າ 18 m/s ແລະ 37 m/s ຜົງຈະເທີຍໄດ້ກັບຄໍາເຮົາໂນລັດໜັນເບົອຣີ Re_L ເທົ່າກັນ 5.71×10^5

ແລະ 1.174×10^6 ຕາມລຳດັບ ດັ່ງແສດງໄວ້ໃນຮູປ່ປໍ່ທີ່ 3 ການຮະຈາຍຂອງຄວາມດັນໃນໜ່ວຍຄໍາເຮົາໂນລັດໜັນເບົອຣີນີ້ໄມ້ມີຄວາມແຕກຕ່າງກັນອ່າຍເຫັນໄດ້ສັດສ່ວນໄໝງກັຈສອດຄລ້ອງກັບສາມາດເບົວອົງນູລື[1] ເຫັນນັ້ນແລ້ວຄາດທີ່ມີການໄລຍະດ້ວຍຄວາມເວົ້າສູງ ຄວາມດັນກີຈະຕ່າ



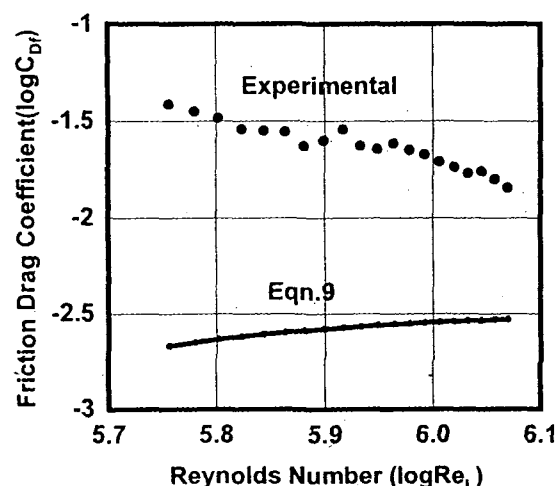
(a)



(b)

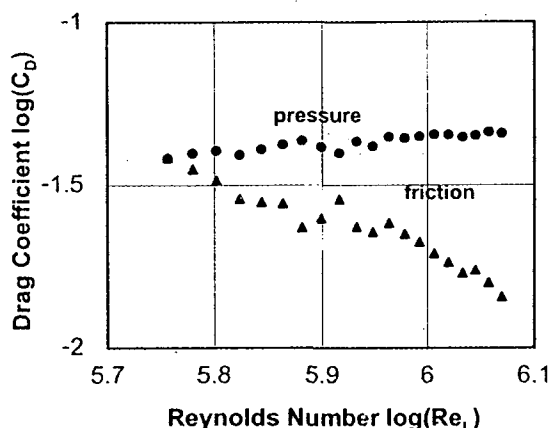
ຮູປ່ປໍ່ທີ່ 3 ການຮະຈາຍຂອງຄວາມດັນຕ່າງໆດ້ວຍຄວາມຍາວແບບຈຳລອງຮັດໄຟຟ້າທີ່
ຄວາມເວົ້າ (a) 18 m/s (b) 37 m/s

ຄວາມແຕກຕ່າງໆຂອງສັນປະສິກົງຂອງແຮງຈຸດແບບຄວາມເສີຍດທານຮະຫວ່າງຜົລື້ນີ້ໄດ້ຈາກສາມາດກຳໄວ້ໃນຮູປ່ປໍ່ທີ່ 4 ປະກົງວ່າມີກະທົບຈາກຄວາມໜຶນດົບຮັດໄຟຟ້າລົດລອງຍ່າງມາກ່າງໆ ເປັນລັກນະທຳທີ່ໄປ່ອອງເຫັນວ່າຈຸດວັດຄວາມດັນທີ່ມາກ[1] ແລ້ວມີເທົ່ານີ້ທີ່ມີກົດໜັກຄາເນື່ອງແຜ່ນແບບໃນສາມາດ(9) ແລ້ວທີ່ຄໍາເຮົາໂນລັດໜັນເບົອຣີ 3×10^6 ສາມາດ(9) ນໍາຈະໃຊ້ປະມານຕ່າງໆແຮງຈຸດນີ້ອ່າງມາກຈົນເກີນໄປ



ຮູປ່ປໍ່ທີ່ 4 ຄວາມສັນພັນຮະຫວ່າງ C_{Df} ແລະ Re_L ຂອງແຜນຈຳລອງຮັດໄຟຟ້າ

เมื่อเปรียบเทียบบทบาทของแรงฉุดแบบความดันและแบบเสียดทานที่มีต่อแบบจำลอง ปรากฏว่าแรงฉุดแบบความเสียดทานจะลงอย่างรวดเร็ว ดังแสดงในรูปที่ 5 ในขณะที่แรงฉุดแบบความดันเพิ่มขึ้นอย่างช้าๆ ในที่นี้พอสรุปได้ว่าเมื่อรดไฟฟ้าวิ่งด้วยความเร็วที่สูงขึ้น แรงฉุดที่เกิดจากความดันจะเป็นตัวที่ควบคุมพฤติกรรมของรดไฟฟ้า สำหรับช่วงเรยโนลเดอร์นัมเบอร์ที่ใช้ในการทดลอง และด้วยเหตุที่แรงฉุดแบบได้แบบหนึ่งอาจมีบทบาทเหนืออีกแบบหนึ่งในช่วงเรยโนลเดอร์นัมเบอร์ต่างๆ กัน ที่ไม่เป็นที่ประหลาดใจเลยที่จะมีลักษณะการไหลที่แตกต่างกันเกิดขึ้น[6]



รูปที่ 5 สัมประสิทธิ์ของแรงฉุดแบบความดันและแบบความเสียดทาน
จากการทดลอง สำหรับแบบจำลองรดไฟฟ้า

ในการทดลองนี้ได้ติดตั้งแบบจำลองไว้ในลักษณะให้ต้านล่างของรดไฟฟ้าอยู่ใกล้กับผนังข้างด้านหนึ่งของอุโมงค์ลม ซึ่งจะมีส่วนช่วยในการจำลองสภาพการณ์จากผลที่เกิดจากพื้นรดไฟฟ้าได้ ส่วนหลังคาและด้านข้างของรดไฟฟ้า อยู่ห่างจากผนังของช่วงส่วนการทำงานในอุโมงค์ลม ประมาณ 2 และ 1 เท่าของขนาดของตัวรดในทิศทางเดียว กันตามลำดับ ซึ่งน่าจะเป็นไปได้อย่างยิ่งที่ลักษณะการไหลผ่านแบบจำลองจะมีผลกระทบจากผนังของอุโมงค์ลมบ้าง

สำหรับผลการศึกษาแบบจำลองเชิงทดลองของการไหลผ่านรดไฟฟ้าข้อมูลที่ได้ในครั้งนี้คงจะไม่สามารถนำไปใช้ได้โดยตรง แต่ด้วยการพิจารณาอย่างถี่ถ้วนอาจจะนำไปใช้ประโยชน์ได้โดยอ้อม ประเด็นสำคัญในที่นี้คือภัยของความคลายคลึงเชิงพลวัตร กล่าวคือ ค่าเรยโนลเดอร์นัมเบอร์เท่ากันค่าสัมประสิทธิ์ของแรงฉุดก็จะเท่ากันด้วย[6] แต่ด้วยขีดจำกัดด้านสมรรถนะของเครื่องมือทดลอง ในการศึกษาจึงไม่สามารถทำให้เป็นไปตามหลักความคลายคลึงทั่วไปของแรงฉุดได้ แต่สิ่งที่ไม่อาจปฏิเสธได้เลย ก็คือประโยชน์ต่อการศึกษาด้านวิศวกรรมศาสตร์โดยการแก้ปัญหาทางวิศวกรรมศาสตร์ด้วยวิธีนี้

6. กิตติกรรมประกาศ

การศึกษารังนี้ไม่สามารถสัมฤทธิ์ผลไปได้ ถ้าไม่ได้รับความช่วยเหลือด้านข้อมูลจากองค์กรระดับนานาชาติ จังหวัดคุณวีโนโภคส์ นั้น

เอกสารอ้างอิง

1. Munson, B.R., Young, D.F., and Okiishi, T.H., "Fundamentals of Fluid Mechanics," 3rd Ed., Wiley, 1998.
2. แคนไน ไก ทองผิwa, ชีรเดช มันสันยกรณ์, และ สมนึก ญาณีพัชรະ, "การศึกษาโดยการทดลองของ การไหลผ่านรดไฟฟ้า," บริษัทฯ พนิพิวต์วิศวกรรมศาสตร์บัณฑิต สาขาวิชวิศวกรรมเครื่องกล คณะวิศวกรรมศาสตร์ สถาบันเทคโนโลยีพระจอมเกล้าเจ้าคุณทหารลาดกระบัง
3. Froberg, C-E, "Introduction to Numerical Analysis," 2nd Ed., Addison-Wesley, 1969.
4. Fox, R.W., and McDonald, A.T. , "Introduction to Fluid Mechanics," 4th Ed., Wiley, 1994.
5. Schlichting, H. , "Boundary-layer Theory," 6th Ed., McGraw-Hill, 1968.
6. Shapiro, A.H., "Shape and Flow: the Fluid Dynamics and Drag," Heinemann, 1977.